

マックスウェル方程式の有限要素近似について

電気通信大学* 名古屋靖一郎 (Seichiro Nagoya)

電気通信大学 牛島照夫 (Teruo Ushijima)

はじめに

第1章においては、マックスウェル方程式に有限要素法を適用し近似的に解くスキームを提示し、その安定性や収束性について Trotter-Kato-Ushijima の半群の近似理論を用いて考察する。第2章では、次元をおとした方程式についての数値計算結果を示し、第1章で述べた結果の確認をする。

第1章 近似スキームの安定性と収束性

§1 準備

\mathbb{R}^3 中のリプシッツ領域 Ω をとり、3次元ベクトル値関数として与えられる $E = E(t, x)$, $H = H(t, x)$ ($(t, x) \in [0, \infty) \times \Omega$) について、次の方程式を考える。

$$(1.1) \begin{cases} \varepsilon \frac{\partial E}{\partial t} = \text{rot} H - \sigma E \\ \mu \frac{\partial H}{\partial t} = -\text{rot} E \end{cases} \quad (\varepsilon, \mu, \sigma \text{ は正定数})$$

* 昭和59年4月刊, 日本科学技術研修所

として, 境界条件として

$$(1.2) \quad \nu \wedge E = 0 \quad \text{on } [0, \infty) \times \Gamma \quad (\Gamma = \partial\Omega)$$

をみたし (ν は Ω の外向き単位法線ベクトルで, 「 \wedge 」は外積), 初期条件

$$(1.3) \quad \begin{cases} E(0, x) = E_0(x) \\ H(0, x) = H_0(x) \end{cases}, \quad x \in \Omega$$

を与えて, $(0, \infty) \times \Omega$ 上で (1.1) をみたす E, H を求めるという問題を考える。

注.

有界領域 $\Omega \subset \mathbb{R}^N$ がリプシッツ領域とは, (局所地図を (x_1, \dots, x_N) , または簡単に (x'_r, x_{rN}) ($r=1, 2, \dots, M$) として) ある正数 α, β があって, 以下の2条件 i), ii) をみたすときをいう。

i) 境界 Γ の各点 x が, 立方体 $\Delta_r = \{x'_r = (x_1, \dots, x_{N-1}) :$

$$|x_{ri}| < \alpha, \quad i=1, 2, \dots, N-1\}$$

上で定義されるリプシッツ連続な関数 a_r によって, $x = (x'_r, a_r(x'_r))$ とかけられる。

ii) $\{(x'_r, x_{rN}) : a_r(x'_r) < x_{rN} < a_r(x'_r) + \beta, x'_r \in \Delta_r\} \subset \Omega$,

$$\{(x'_r, x_{rN}) : a_r(x'_r) - \beta < x_{rN} < a_r(x'_r), x'_r \in \Delta_r\} \subset \bar{\Omega}^c.$$

記法.

\cdot $u = (u_i)_{1 \leq i \leq 3}, v = (v_i)_{1 \leq i \leq 3} \in \{L^2(\Omega)\}^3$ に対して,

$$(u, v)_0 = \int_{\Omega} \sum_{i=1}^3 u_i(x) v_i(x) dx, \quad \|u\|_0 = (u, u)_0^{\frac{1}{2}}$$

• $\mathcal{X} = \begin{matrix} \{L^2(\Omega)\}^3 \\ \times \\ \{L^2(\Omega)\}^3 \end{matrix}$ の内積, μ, ε , $U = \begin{pmatrix} u_1 \\ u_2 \end{pmatrix}$, $V = \begin{pmatrix} v_1 \\ v_2 \end{pmatrix} \in \mathcal{X}$ とし,

$$(U, V) = (\varepsilon u_1, v_1)_0 + (\mu u_2, v_2)_0, \quad \|U\| = (U, U)^{\frac{1}{2}}$$

となく。

• $H(\text{rot}; \Omega) = \{u \in \{L^2(\Omega)\}^3 : \text{rot } u \in \{L^2(\Omega)\}^3\}$.

$H_0(\text{rot}; \Omega) = \{\partial(\Omega)\}^3$ のグラフノルム $\|\cdot\|_0 + \|\text{rot} \cdot\|_0$ に
関する閉包。

補題 1.

$$\{\partial(\Omega)\}^3 \underset{\text{dense}}{\subseteq} H(\text{rot}; \Omega).$$

これにより, $u \in H(\text{rot}; \Omega)$ について, $\forall \lambda u$ が $\{H^{-1/2}(\Gamma)\}^3$ の
意味で定義できて,

$$\begin{aligned} H_0(\text{rot}; \Omega) &= \{u \in H(\text{rot}; \Omega) : \forall w \in H(\text{rot}; \Omega), (\text{rot } u, w)_0 \\ &= (u, \text{rot } w)_0\} \\ &= \{u \in H(\text{rot}; \Omega) : \forall \lambda u = 0\}. \end{aligned}$$

(cf. [2], [3]. また境界が十分滑らかな時は [1] を参照)

作用素 A .

$A : \mathcal{X} \rightarrow \mathcal{X}$ を次のように定義する。

$$V = H_0(\text{rot}; \Omega), \quad W = H(\text{rot}; \Omega)$$

とおいで,

$$D(A) = \underset{W}{\underset{V}{\times}}, \quad A = \begin{pmatrix} 0 & \frac{1}{\varepsilon} \text{rot} \\ -\frac{1}{\mu} \text{rot} & 0 \end{pmatrix}$$

命題 2.

$$\overline{D(A)} = \mathcal{X}, A \text{ は閉. } A^* = -A, D(A^*) = D(A)$$

として, $\forall F \in \mathcal{X}, \forall \lambda > 0$ に対して, 方程式

$$(\lambda - A)U = F$$

の解 $U \in D(A)$ が一意に存在し,

$$\|U\| \leq \lambda^{-1} \|F\|$$

をみたす。以上により, A はユニタリ半群の生成作用素となる。(この半群を $T(t)$ とかくことにする。)

(cf. [1], 定理 10.1)

作用素 B

$B \in L(\mathcal{X})$ を次のように定義する。

$$B = \begin{pmatrix} -\frac{\sigma}{\varepsilon} & 0 \\ 0 & 0 \end{pmatrix}$$

命題 3.

作用素 $C = A + B$ ($D(C) = D(A)$) は半群 $S(t)$ の生成作用素になり, その半群 $S(t)$ は次式をみたす。

$$\|S(t)\| \leq e^{\|B\|t}, t \geq 0$$

(cf. [4], 定理 2.1)

§ 2. 近似法.

Ω は多面体領域とする (L があって, リフシッツ領域). regularかつ inverse assumption をみたす四面

体分割 \mathcal{J}_h をとる。すなわち,

$$W_h = \{w_h \in C(\bar{\Omega}) : w_h|_T \in P_1, T \in \mathcal{J}_h\}$$

$$V_h = \{v_h \in W_h : v_h|_P = 0\}$$

(P_1 : 1次以下の多項式全体の集合)

とおき,

$$W_h = \{W_h\}^3, \quad V_h = \{V_h\}^3$$

とする。問題 (1.1) - (1.3) の弱形式

$$(\Pi_0) \left\{ \begin{array}{l} \text{find } u(t) \in V, w(t) \in W \text{ such that} \\ \varepsilon \frac{d}{dt} (u(t), \varphi)_0 - (\text{rot } w(t), \varphi)_0 + (\sigma u(t), \varphi)_0 = 0, \forall \varphi \in V, \\ \mu \frac{d}{dt} (w(t), \psi)_0 + (\text{rot } u(t), \psi)_0 = 0, \forall \psi \in W, t > 0, \\ u(0) = u^0 \in V, w(0) = w^0 \in W. \end{array} \right.$$

に対して、次のよう近似スキームをとる。

$$(\Pi_{h,\tau}) \left\{ \begin{array}{l} \text{find } u_h(t) \in V_h, w_h(t) \in W_h \text{ (step function)} \\ (\varepsilon (D_\tau u_h)(t), \varphi_h)_0 - (\text{rot } w_h(t+\tau), \varphi_h)_0 + (\sigma u_h(t), \varphi_h)_0 = 0, \\ \quad \forall \varphi_h \in V_h, \\ (\mu (D_\tau w_h)(t), \psi_h)_0 + (\text{rot } u_h(t), \psi_h)_0 = 0, \forall \psi_h \in W_h, \\ \quad t \in [n\tau, (n+1)\tau), n=0,1,2,\dots, \\ u_h(t) = u_h^0 \in V_h, w_h(t) = w_h^0 \in W_h, t \in [0, \tau). \end{array} \right.$$

ここで, $(D_\tau u)(t) = \frac{u(t+\tau) - u(t)}{\tau}$ である。

有限次元空間 V_h, W_h の内積 $(\cdot, \cdot)_0$ をいれたヒルベルト空間を X_h, Y_h で表す。リースの定理から決まる作用

素 R_h を次のようにとる。

$$(\operatorname{rot} u_h, w_h)_0 = (R_h u_h, w_h)_0, \quad u_h \in X_h, w_h \in Y_h.$$

すると境界条件のいれ方から

$$(\operatorname{rot} u_h, w_h)_0 = (u_h, \operatorname{rot} w_h)_0$$

をみたす。これを、

$$(R_h u_h, w_h)_0 = (u_h, R_h^* w_h)_0$$

に対応させると、 (T_h, τ) はヒルベルト空間 X_h, Y_h の元の意味で、

$$(E_{h,\tau}) \begin{cases} \varepsilon (D_x u_h)(t) - R_h^* w_h(t+\tau) + \sigma u_h(t) = 0, \\ \mu (D_x w_h)(t) + R_h u_h(t) = 0, \quad t \in [n\tau, (n+1)\tau), \\ u_h(t) = u_h^0 \in X_h, w_h(t) = w_h^0 \in Y_h, \quad t \in [0, \tau). \end{cases}$$

とかける。ここで、簡単のため、

$$\begin{cases} u_h(t) = u_n & (t \in [n\tau, (n+1)\tau), \\ w_h(t) = w_n & (n=0, 1, 2, \dots) \end{cases}$$

とかくと、 $(E_{h,\tau})$ は

$$(E_{h,\tau}) \begin{cases} \varepsilon \frac{u_n - u_m}{\tau} - R_h^* w_n + \sigma u_m = 0, \\ \mu \frac{w_n - w_m}{\tau} + R_h u_m = 0, \\ u_0 = u_h^0 \in X_h, w_0 = w_h^0 \in Y_h. \end{cases} \quad \begin{matrix} (n=m+1 \\ m=0, 1, 2, \dots) \end{matrix}$$

となる。

また $X_h \times Y_h$ に内積 (\cdot, \cdot) を入れたヒルベルト空間を \mathcal{X}_h とし、 R_h を \mathcal{X}_h から \mathcal{X}_h の上への直交射影作用素とする。

注.

この近似法では, V_h は境界上ではすべて零となるものの全体の集合となり, 境界上での値が全く計算できない。この問題は次のように改善できる。

$$\left\{ \begin{array}{l} b_1, b_2, \dots, b_N : \text{内部節点,} \\ b_{N+1}, b_{N+2}, \dots, b_{N+M_1} : \text{境界面の内部にある節点,} \\ b_{N+M_1+1}, b_{N+M_1+2}, \dots, b_{N+M} : \text{ある稜にある節点.} \end{array} \right.$$

とおき,

$$\begin{aligned} V_h' &= \{ \psi_h \in W_h : \psi_h \upharpoonright \Gamma = 0 \text{ on } \Gamma \} \\ &= \left\{ \psi_h = \sum_{j=1}^N V_j w_j + \sum_{j=N+1}^{N+M_1} N_j m_j w_j : V_j \in \mathbb{R}^3, \right. \\ &\quad \left. N_j \in \mathbb{R}, m_j = b_j \text{ を含む境界面に立てる法線} \right\} \end{aligned}$$

とする。 V_h を V_h' に代えても以下の議論は成立する。

§3. 安定性.

$$(E'_{h,\tau}) \begin{cases} \varepsilon \frac{u_n - u_m}{\tau} - R_h^* w_n = 0, \\ \mu \frac{w_n - w_m}{\tau} + R_h u_m = 0, \quad u_0 = u_h^0, w_0 = w_h^0. \end{cases}$$

というスキームについては次の定理が成立する。

定理 4.

$$(1.4) \quad |(R_h u_n, w_n)_0| \leq 2\alpha(\sqrt{\varepsilon} \|u_n\|_0)(\sqrt{\mu} \|w_n\|_0), \quad u_n \in X_h, w_n \in Y_h$$

をみたす正数 α があるとする。そのとき,

$$(1.5) \quad 1 - \alpha\tau > 0$$

をみたす十分小さき τ に対する $(E'_{h,\tau})$ の $u_n, w_n (n=0, \dots)$

は,

$$\|U_n\| \leq C \|U_0\|, \quad U_n = \begin{pmatrix} u_n \\ w_n \end{pmatrix}$$

をみたす。ここで, $C = \sqrt{\frac{1+a\tau}{1-a\tau}}$ である。

注.

rot は 1 階の微分作用素だから, "inverse assumption" により, $a = \frac{C'}{h}$ (C' は h に依存しない定数) が得られ, 定理 4 の安定条件 (1.5) は,

$$(1.6) \quad \tau < C'' h$$

の形になる。

($E_{h,\tau}$) は,

$$\begin{cases} \frac{u_n - u_m}{\tau} = \frac{1}{\varepsilon} R_h^* w_m - \frac{\tau}{\varepsilon \mu} R_h^* R_h u_m, \\ \frac{w_n - w_m}{\tau} = -\frac{1}{\mu} R_h u_m. \end{cases}$$

とかける。そこで,

$$A_\tau = \begin{pmatrix} -\frac{\tau}{\varepsilon \mu} R_h^* R_h & \frac{1}{\varepsilon} R_h^* \\ -\frac{1}{\mu} R_h & 0 \end{pmatrix} \in L(\mathcal{X}_h)$$

を生成作用素とする離散半群 (cf. [5]) を $T_\tau(t)$ とおく。

すると, 定理 4 から,

$$(4.7) \quad \exists M > 0, \quad \|T_\tau(t)\| \leq M, \quad t \geq 0$$

が得られる。($E_{h,\tau}$) は,

$$\begin{cases} \frac{u_n - u_m}{\tau} = \frac{1}{\varepsilon} R_h^* w_m - \frac{\tau}{\varepsilon \mu} R_h^* R_h u_m - \frac{\sigma}{\varepsilon} u_m, \\ \frac{w_n - w_m}{\tau} = -\frac{1}{\mu} R_h u_m. \end{cases}$$

とかける。そこで,

$$\mathcal{L}_c = A_c + B_c, \quad B_c = \begin{pmatrix} -\frac{\sigma}{\epsilon} & 0 \\ 0 & 0 \end{pmatrix} \in L(\mathbb{R}^2).$$

を生成作用素とする離散半群 $S_c(t)$ について, (1.7) と [5] の命題 4.1 により,

$$\|S_c(t)\| \leq M e^{\omega t}, \quad (\omega = M \|B_c\|), \quad t \geq 0.$$

が得られる。

§4. 収束性.

[5] の半群の近似理論を用いることにより, 以下の結果を得た。

定理 5.

A_c を生成作用素とする離散半群 $T_c(t)$ } に対して,
 A を生成作用素とする連続半群 $T(t)$ }

$\exists C > 0$ (定数) 小. 大. $\left\{ \begin{array}{l} \epsilon < C h$ をみたすように, $h \rightarrow 0$ と
 するとき, $0 < T < \infty$ について,
 $T_c(t) \xrightarrow{K} T(t), t \in [0, T]$ 上-様.

定理 6.

\mathcal{L}_c を生成作用素とする離散半群 $S_c(t)$ } に対して,
 \mathcal{L} を生成作用素とする連続半群 $S(t)$ }

$\exists C > 0$ (定数) 小. 大. $\left\{ \begin{array}{l} \epsilon < C h$ をみたすように, $h \rightarrow 0$ と
 するとき, $0 < T < \infty$ について,
 $S_c(t) \xrightarrow{K} S(t), t \in [0, T]$ 上-様.

第2章 1次元モデルの数値実験

§1. 準備

まずここで取り扱う方程式を明らかにすると、

$$(2.1) \begin{cases} \varepsilon \frac{\partial u}{\partial t} = \frac{\partial w}{\partial x} - \sigma u \\ \mu \frac{\partial w}{\partial t} = \frac{\partial u}{\partial x} \end{cases} \quad (0 < x < 1)$$

である。すなわち、波動方程式

$$\frac{\partial^2 u}{\partial x^2} - \mu \varepsilon \frac{\partial^2 u}{\partial t^2} - \mu \sigma \frac{\partial u}{\partial t} = 0$$

を考えている。このようなモデルを取り扱う正当性については、[6]を参照。

§2. 安定性の確認

$\varepsilon = 1$, $\mu = 1$, $\sigma = 1$ とおき、初期条件として、

$$u(0, x) = \sin \pi x, \quad w(0, x) = \frac{1}{2}, \quad 0 \leq x \leq 1$$

をもち、境界条件として

$$u(t, 0) = u(t, 1) = 0, \quad t \geq 0$$

をもち、例について、安定性の実験を行った。

τ	安定	不安定
0.1	1.13	1.14
0.05	1.14	1.15
0.025	1.14	1.15

表1. 安定なときと不安定なときの $\frac{\tau}{\varepsilon}$ の値

第1章の安定性の証明から得られる理論的な安定条件
を与える τ/h については, $1/\sqrt{3}$ となる。

表3. 収束性の確認

$$\begin{cases} \varepsilon = 100, \mu = 0.0001, \sigma = 1000 \\ u(0, x) = \sin 2\pi x, \quad w(0, x) = \cos 2\pi x \quad (0 \leq x \leq 1) \\ u(t, 0) = u(t, 1) = 0, \quad t \geq 0 \end{cases}$$

とした場合の厳密解と近似解の比較を行う。図1は、
 $h=0.025, \tau=0.0025$ した場合の u のグラフの比較で、
図2は w のグラフの場合である。ほぼ形としては目で
みるかぎりにおいてよく近似しているといえよう。図
3は、 $\tau/h=0.1$ と固定したまま、 h を小さくしてい
った時の収束の様子を表すもので、線でかかれてい
るのは厳密解である。ただし、グラフは $x=0.2$ と固定
した場合のものである。これを見ると、 h を小さくし
てゆくと近似解が厳密解に近づくようすが観察される。

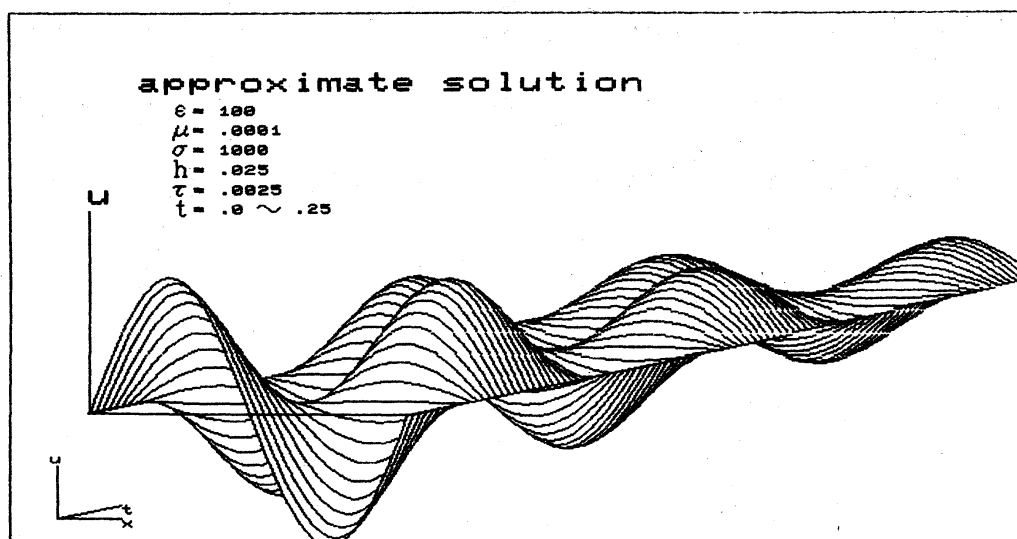
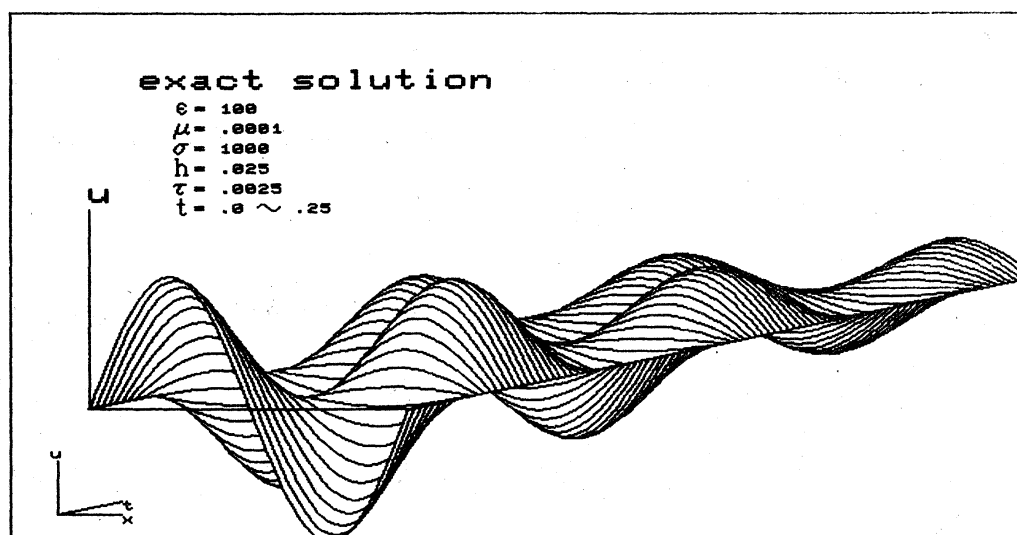


図 1. u のグラフの比較.

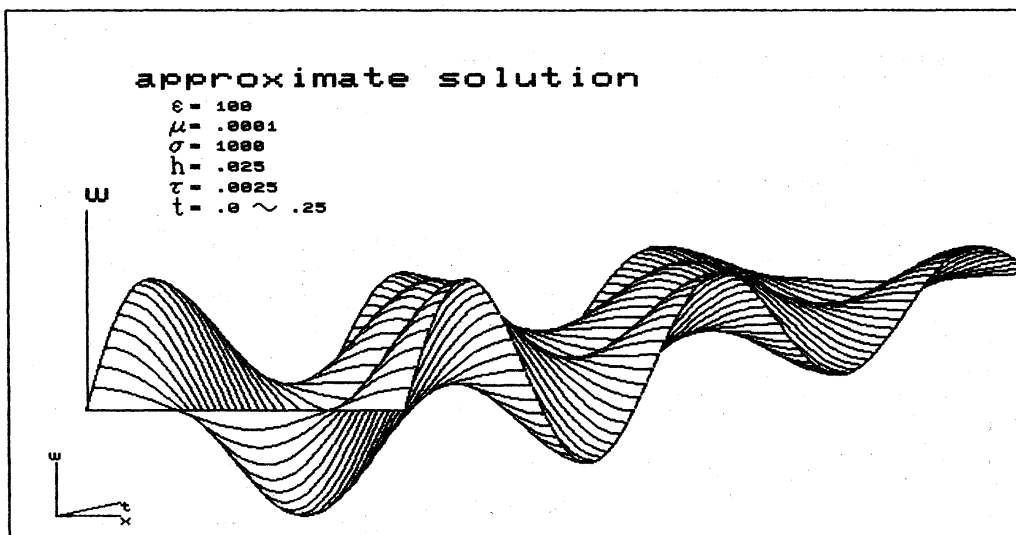
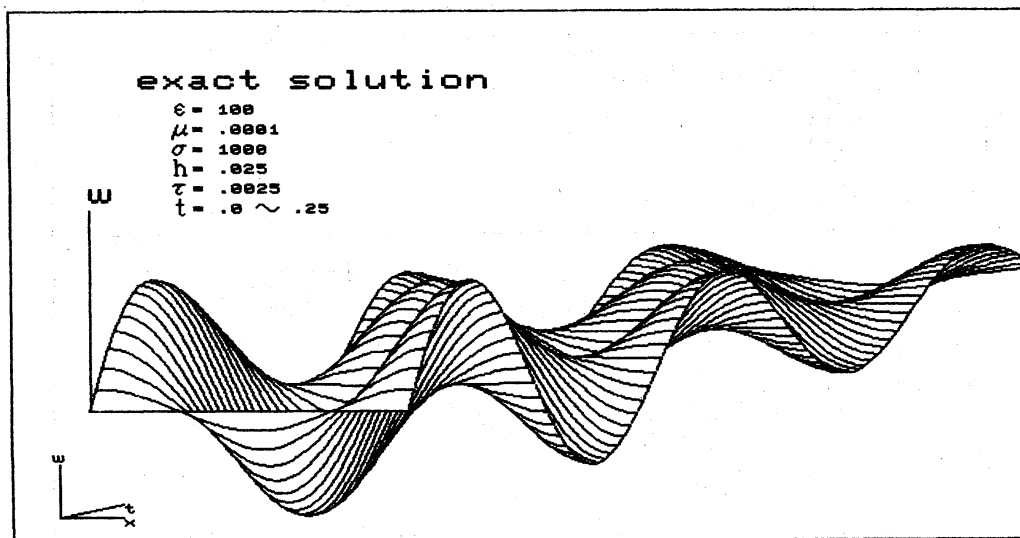


図 2. w のグラフの比較

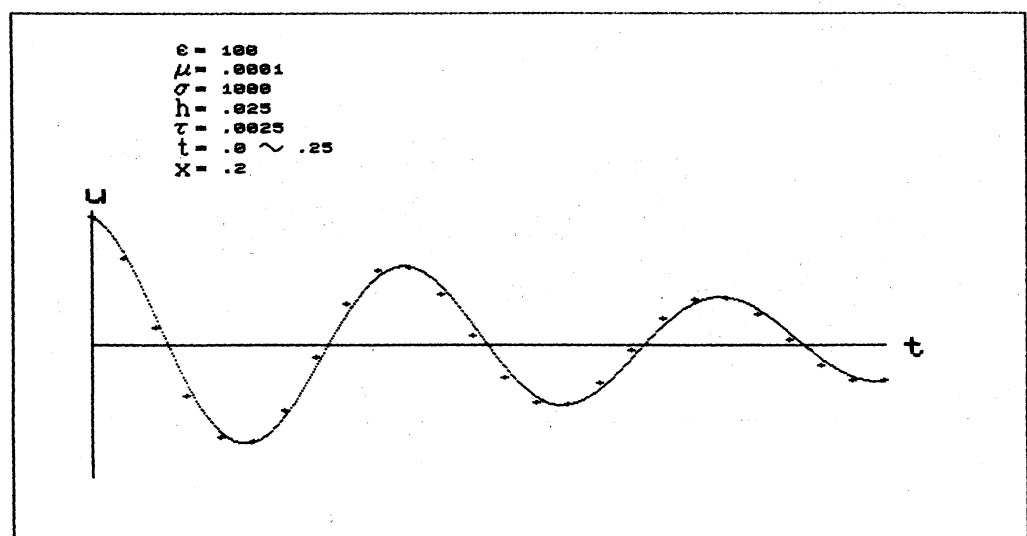
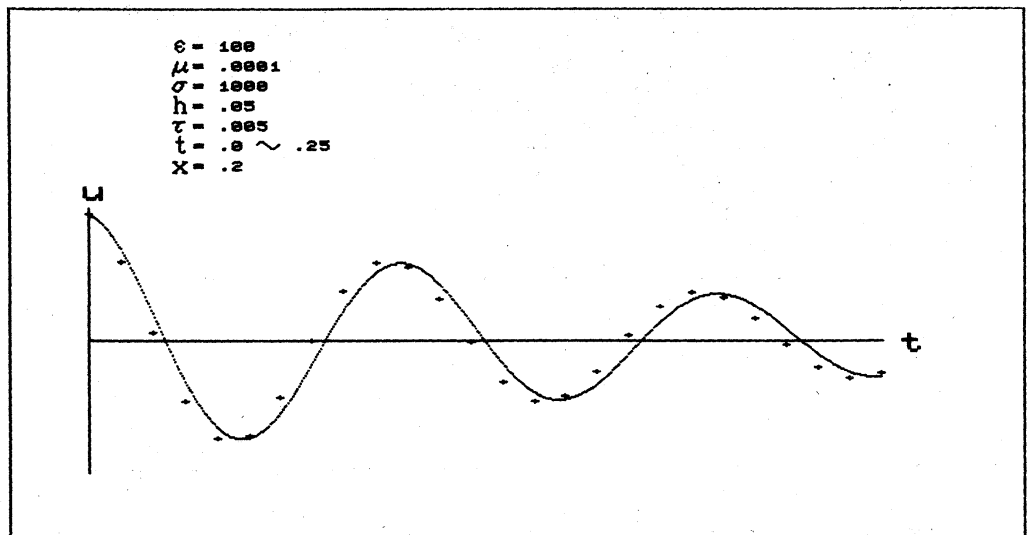
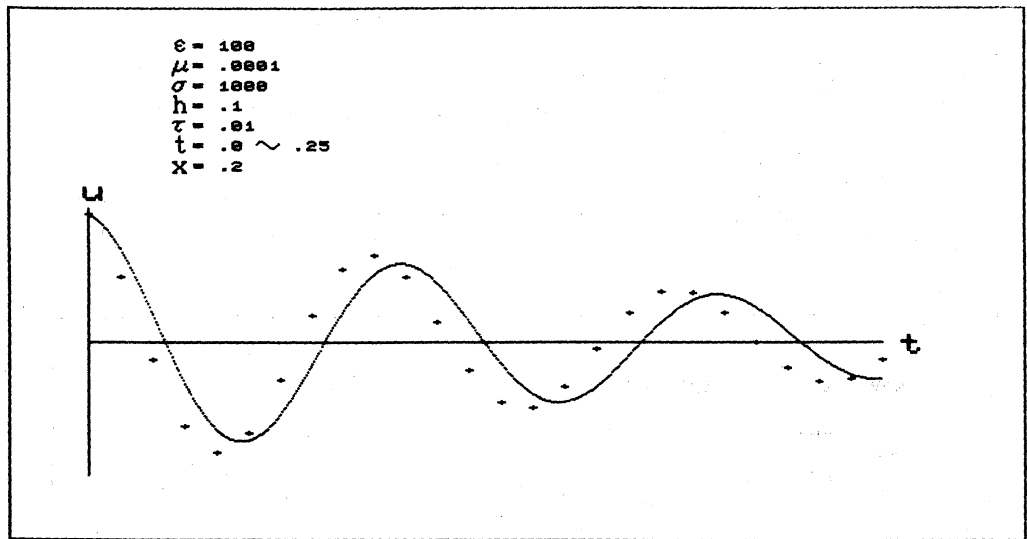


図 3. 収束の様子.

参考文献

- [1] G. Duvaut, J.L. Lions : *Inequalities in mechanics and physics*, Springer-Verlag, Berlin, (1976), Chapter 7.
- [2] Chevalier, J. : Une remarque sur les espace du type de Sobolev, *Ann. Fac. Sc. Kinshasa, Math. Phys.*, Vol III (1977), pp. 293-300.
- [3] Chevalier J. : Convergence of finite element approximations for first order symmetric hyperbolic systems, *Bull. Soc. Roy. Sc. Liège*, 50^e année, 9-10 (1981), pp. 313-327.
- [4] Kato, T. : *Perturbation theory for linear operators*, Springer-Verlag, Berlin, (1966), Chapter IX.
- [5] Ushijima, T. : Approximation theory for semi-groups of linear operators and its application to approximation of wave equations, *Japan J. Math.*, Vol. 1, No. 1, (1975), pp. 185-224.
- [6] 寺沢徳雄: 振動と波動, 岩波全書, (1984), 第5章.